

برآورد فاصله ویژگیهای سیگنالی الگوهای امضای حقیقی و جعلی با استفاده از مشتقات مرتبه بالاتر در الگوریتم DTW

سعید رشیدی^۱، علی فلاح^۲، فرزاد توحیدخواه^۳

چکیده

مقایسه و تعیین فاصله یا شباخت سیگنالهای زمانی از موضوعات اساسی در مسئله بازناخت الگو است. تطابق برنامه‌ریزی پویا از جمله روشهای بهینه‌ای است که برای ساختارهای دنباله‌ای کاربرد دارد. در این زمینه الگوریتم پیچش زمانی پویا ایده‌ای شناخته شده است که در بسیاری از کاربردهای عملی مانند تصدیق امضاء به منظور ارزیابی ویژگیهای سیگنالی مدنظر می‌باشد. در این مقاله برای تخمین میزان شباخت ویژگیهای سیگنالی در امضاهای حقیقی و جعلی روشی مبتنی بر الگوریتم پیچش زمانی پویا ارائه می‌شود که با استفاده از مجموع مشتقات مرتاب بالای سیگنالها نقاط متناظر مشخص می‌گردد. نتایج آزمایشات تصدیق امضاء به منظور شناسائی الگوهای حقیقی و جعلی بر پایه طبقه‌بندی کننده‌های بیز، خطی و ماشین بردارهای پشتیبان نشان می‌دهد که برای جاعلان ماهر خطای EER به ترتیب برابر ۰.۷٪ و ۱.۱٪ برای سطح آستانه فردی و عمومی است.

کلمات کلیدی

پیچش زمانی پویا، تصدیق امضاء، ماشن بردارهای پشتیبان.

Evaluation of Signal Features Distance of Genuine and Forgery Signature Patterns with Using High Order Derivates on DTW

Saeid Rashidi, Ali Fallah, Farzad Towhidkhah

Abstract

Comparison and determine or similarity of time signals is an important subject in pattern recognition field. Dynamic programming matching is among them optimum methods that use for sequences structures. In this connection dynamic time warping technique that on most practical applications as signature verification used for evaluation signal features. This paper presents a method for measure of signals similarity in genuine and forgery signatures based on dynamic time warping that use sum of high order derivates in order to assign of match points. With using to bayes, linear and support vectors machine classifiers results are showed that for skilled forgeries equal error rate (EER) are ۰.۷٪ and ۱.۱٪ for user based and global threshold, respectively.

Keywords

Dynamic Time Warping, Signature Verification, Support Vectors Machine.

۱. دانشجوی دکترای دانشگاه صنعتی امیرکبیر، مریمی دانشکده مهندسی پزشکی واحد علوم و تحقیقات دانشگاه آزاد اسلامی:

۲. استادیار دانشگاه صنعتی امیرکبیر، دانشکده مهندسی پزشکی: a_fallah@aut.ac.ir

۳. دانشیار دانشگاه صنعتی امیرکبیر، دانشکده مهندسی پزشکی: towhidkhah@aut.ac.ir

۱- مقدمه

امروزه یکی از میدانهای تحقیقاتی جذاب بهره‌گیری از روش‌های زیست‌سنگی برای شناسائی اشخاص است. تصدیق امضاء از جمله راهکارهای احراز هویت فرد می‌باشد. در این سیستمها از صفحات الکترونیکی یا دیجیتالیزهای همزمان امضای فرد (روش پویا) و از اسکنرهای نوری جهت اخذ تصویر در روش‌های ایستاد استفاده می‌گردد [۱]. در روش‌های پویا ابزارهای دریافت باید به گونه‌ای طراحی شوند که علاوه بر دسترسی به اطلاعات مختلف مانند موقعیت، فشار و زاویه قلم، کاربر احساس طبیعی در زمان امضاء بر روی صفحه کاغذ را نیز داشته باشد.

روش‌های متعددی جهت بازشناسی الگو در مسئله تصدیق امضاء پویا اعمال شده است. برخی از این روش‌ها نیاز به استخراج پارامترها و شاخصهای مانند میانگین سرعت، واریانس شتاب، میانگین فشار و غیره دارند که بینگر رفتار طبیعی فرد در حین امضاء است و به کمک آنها می‌توان انحراف را در امضاهای جعل شده را تشخیص داد [۲ و ۳]. در روش‌های دیگر شباهت الگوهای امضاء بر اساس مقایسه توابع و سیگنالهای زمانی نظیر سرعت در راستای x ، شتاب مماسی و غیره سنجیده می‌شود [۴ و ۵].

الگوریتم پیچش زمانی پویا (DTW) روشی مناسب برای ارزیابی شباهت سیگنالهای زمانی است. DTW بر پایه فاصله تجمعی نقاط در دو سیگنال مورد مقایسه، نقاط متناظر را بر اساس روش بهینه برنامه‌ریزی پویا (DPM) می‌یابد. DTW از روش‌های موفق و مورد توجه در زمینه تصدیق امضاء است [۶ و ۷]. از آنجا که الگوریتم مذکور در تطابق نقاط تنها بر معيار کمیت همچون فاصله اقلیدسی تاکید دارد گاهی منجر به خطای فاحش در تناظر نقاط دو سیگنال می‌شود. برای مثال تطابق نقطه کمینه یک سیگنال بر نقطه بیشینه سیگنال دیگر رخ می‌دهد که به لحاظ معنایی اشتباه است.

این مقاله با ارائه روشی مبتنی بر استفاده از مشتقهای مرتبه بالاتر در تابع فاصله اقلیدسی ضمن لحاظ نمودن معيار کیفیت سعی در افزایش دقت سنجش میزان شباهت سریهای زمانی دارد. با اصلاح معيار فاصله در الگوریتم DTW و افزودن مراتب مشتق سیگنالهای مورد بررسی به آن، علاوه بر پیچش محور زمان و اصلاح تغییرات غیرخطی آن، تغییرات محلی دامنه آنها نیز در تطابق نقاط ملحوظ می‌گردد. آزمایشات طراحی شده برتری روش پیشنهادی بر DTW را در کاهش خطای طبقه‌بندی الگوهای حقیقی و جعلی نشان می‌دهد.

۲- الگوریتم DTW

الگوریتم پیچش زمانی پویا روشی برای غلبه بر تغییرات غیرخطی محور زمان در تعیین فاصله سریهای یا سیگنالهای زمانی است. این الگوریتم توسط ساکو^۱ و شیبا^۲ برای مسئله بازشناخت گفتار در ۱۹۷۸ ارائه گردید [۱۰]. اگر دو سیگنال A, B با طولهای متفاوت داشته باشیم:

$$\begin{aligned} A &= a_1, a_2, \dots, a_i, \dots, a_n \\ B &= b_1, b_2, \dots, b_j, \dots, b_m \end{aligned} \quad (1)$$

برای تطابق دو سیگنال با استفاده از DTW ابتدا یک ماتریس $m \times n$ تشکیل می‌شود به نحوی که عنصر (i, j) فاصله دو نقطه (a_i, b_j) بر پایه معيارهای فاصله مانند فاصله اقلیدسی خواهد بود. چنانچه تناظر نقاط در مرحله k ام حاصل آید آن بصورت $(i_k, j_k) = S_k$ بیان می‌شود. بنابراین مسیر کلی تناظر دو سیگنال چنین بیان می‌شود:

$$S = S_1, S_2, \dots, S_k, \dots, S_K \quad max(n, m) \leq K \leq n + m - 1 \quad (2)$$

برای محاسبه نقاط متناظر بهینه،تابع پیچش یا فاصله وزن‌دار DS_k بصورت زیر معرفی می‌شود:

$$DS_k = d(i_k, j_k) \cdot w(i_k, j_k) \quad (3)$$

که $d(i_k, j_k)$ بیانگر فاصله اقلیدسی، کابرا و غیره دو نقطه (i, j) از دو سیگنال است و $w(i_k, j_k)$ وزن تطابق در مرحله k ام می‌باشد. برای تعیین مسیر پیچش بهینه و محسبه فاصله دو سیگنال A, B تابع ارزش زیر باید کمینه گردد.

$$D_{AB} = \frac{\text{Min}}{S} \left[\frac{\sum_{k=1}^K DS_k}{\sum_{k=1}^K w(i_k, j_k)} \right] \quad (4)$$

البته مسیر پیچش S تحت قیود زیر قرار دارد:

- شرایط اولیه: نقطه شروع با $(I, I) = (i_1, k_1) = (n, m)$ و نقطه پایانی با $w(i_K, k_K) = w(i_1, k_1)$ مشخص می‌شوند.

- پیوستگی: مسیر پیچش جهش ندارد بنابر این شرط $w(i_k, j_k) - w(i_{k-1}, j_{k-1}) \leq 0$ برقرار است.

-۳ یکتائی: نقاط تناظر تحت $(0,0) \geq w(i_k, j_k) - w(i_{k-1}, j_{k-1})$ یکتا بدست می‌آیند.

-۴ پنجه‌گذاری: بازه تغییرات مسیر پیچش در محدوده $R \leq |i_k - j_k|$ می‌تواند قرار گیرد.

برای حل مسئله بهینه‌سازی مسیر پیچش می‌توان از راهکار تطابق برنامه‌ریزی پویا (DPM) استفاده نمود که پاسخ را به شکل یک رابطه بازگشتی بیان می‌کند و داریم:

$$D(i_k, j_k) = \min_{DS_k} [D(i_{k-1}, j_{k-1}) + DS_k] \quad (5)$$

با توجه به شرایط اولیه و اینکه $i_0 = j_0$ می‌توان رابطه فوق را به شکل زیر ساده نمود.

$$D(i, j) = d(i, j) + \min \begin{cases} D(i-1, j) \\ D(i-1, j-1) \\ D(i, j-1) \end{cases} \quad (6)$$

و فاصله دو سیگنال عبارت است از:

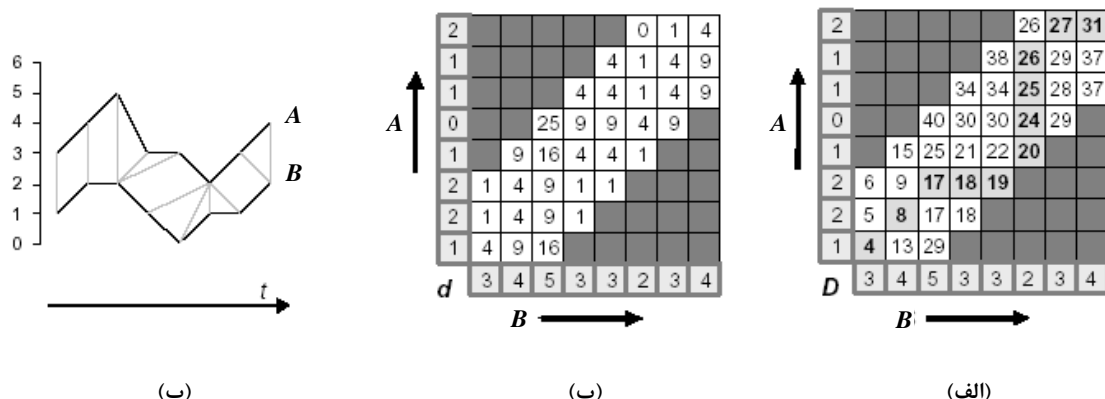
$$D_{AB} = \frac{D(n, m)}{n+m} \quad (7)$$

شکل (۱) نحوه اعمال الگوریتم را بر دو سیگنال نشان می‌دهد و نحوه محاسبه ماتریس فاصله $D(i, j)$ و تعیین نقاط تناظر را بیان می‌کند.

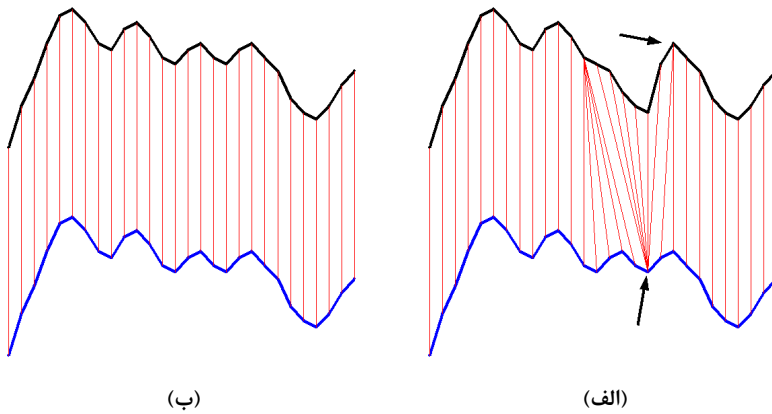
۳- اصلاح الگوریتم DTW

اگر چه الگوریتم DTW برای سیگنالهایی که تنها دارای تفاوت‌هایی در محور زمان هستند، موفق عمل می‌کند و تغییرات غیر خطی زمان را تشخیص می‌دهد ولی اگر سیگنالها دارای تغییراتی در اندازه نیز باشند، احتمال اشتباه و خطای الگوریتم در یافتن مسیرهای تناظر به شدت افزایش می‌یابد. تفاوت‌های کلی سیگنالها همچون اختلاف میانگین، اختلاف مقیاس در اندازه یا افزایش خطی دامنه‌ها را می‌توان بطور موثر با یکسانسازی اندازه جبران نمود [۱۱]. اما در سیگنالهایی که تفاوت‌های محلی در دامنه‌ها مشاهده می‌شود، احتمال انتباطق نقاط بیشینه یکی بر نقاط کمینه دیگری وجود دارد. شکل (۲) مثالی در این زمینه است. دو سیگنال مشابه دارای نقاط تناظر یک به یک است اما اگر تغییری محلی در دامنه یکی ایجاد شود، DTW تلاش می‌کند این تغییر را بر اساس محور زمان توجیه نماید و این امر باعث خطای تطابق کمینه یکی بر بیشینه دیگری می‌گردد. ضعف DTW در کمیت و کیفیت ویژگی و معیار فاصله مفروض یا همان عبارت $d(i, j)$ در رابطه (۶) است که بصورت محلی دو نقطه سیگنالها را ارزیابی می‌کند بدون توجه به این مسئله که ممکن است سیگنالی در حال صعود و دیگری در حال نزول باشد. برای جلوگیری از این امر می‌توان کیفیت سیگنالها را از نظر صعود، نزول، نقاط عطف و غیره را به کمک مشتقات مرتبه بالاتر در $d(i, j)$ لحاظ نمود و به بیان دیگر محتوای شکلی سیگنالها نیز مدنظر قرار گیرد.

ایده اصلی این روش بر پایه بسط توابع ریاضی حول یک نقطه خاص قرار دارد که بسط تیلر و مکلورن حالات بسیار شناخته شده‌ای هستند. بسط مکلورن یک تابع مانند $f(x)$ حول نقطه x_0 عبارت است از:



شکل ۱. نحوه محاسبه تناظر نقاط در DTW. (الف) - تطابق بهینه. (ب) - ماتریس فاصله حاوی فاصله اقلیدسی نقاط. (پ) - نقاط تناظر بر اساس کمترین فاصله تجمعی که با رنگ تیره‌تر مشخص شده‌اند.



شکل ۲. استفاده از DTW برای تطابق دو سیگنال. الف)- دو سیگنال مشابه و تطابق یک به یک. ب)- همان دو سیگنال با تغییر انداز در دامنه یکی و تطابق اشتباه در نقاط با کیفیت متفاوت.

$$f(x) = f(0) + \frac{f'(0)}{1!}x + \frac{f''(0)}{2!}x^2 + \dots + \frac{f^{(n)}(0)}{n!}x^n + R_n \quad (8)$$

و می‌توان نشان داد که دو تابع $f(x), g(x)$ که دارای جملات با کمترین فاصله در سطوح مکلورن باشند را می‌توان با یکدیگر جایگزین نمود و یا به تعبیری آن دو تابع دارای کمترین فاصله خواهند بود.

$$D_{fg} = f(x) - g(x) = (f(0) - g(0)) + \frac{f'(0) - g'(0)}{1!}x + \frac{f''(0) - g''(0)}{2!}x^2 + \dots + \frac{f^{(n)}(0) - g^{(n)}(0)}{n!}x^n \approx 0$$

$$\Rightarrow \begin{cases} f(0) \approx g(0) \\ f'(0) \approx g'(0) \\ f''(0) \approx g''(0) \\ \vdots \\ f^{(n)}(0) \approx g^{(n)}(0) \end{cases} \Rightarrow f(x) \approx g(x) \quad (9)$$

بطور مشابه برای تعیین فاصله دقیق‌تر دو سیگنال می‌توان چنین فرض نمود که در رابطه (۶) عبارت $d(i, j)$ بصورت ذیل تصحیح نمود.

$$d(i, j) = w_0(a_i - b_j)^2 + w_1(a'_i - b'_j)^2 + w_2(a''_i - b''_j)^2 + \dots \quad (10)$$

که w_i وزن اختصاصی بر مبنای اهمیت مرتبه مشتق است و می‌توان آنها را برابر انتخاب یا بر اساس سعی و خطای بهینه کرد. البته چون سیگنال‌های تحت پردازش در کامپیوتر دیجیتال هستند باید به دو نکته اساسی توجه داشت:

- ۱- برای پردازش و کاهش نویز کوانتیزاسیون^۵ دامنه سیگنال، مهمولاً به کمک فیلترهای گوسی سیگنال هموار می‌شود.
- ۲- برای محاسبه مشتق‌های روش‌های گسسته که خود دارای خطای هستند، استفاده می‌شود و با افزایش مرتبه مشتق خطای حاصل نیز افزایش می‌یابد.
- ۳- با افزایش مرتبه مشتق، دامنه مولفه‌های فرکانس بالا که بیانگر نویزهای ذاتی سیگنال دیجیتال هستند نیز افزایش می‌یابد.

با توجه به نکات فوق در رابطه (۱۰) چنانچه مرتبه مشتق موجود در افزایش یابد به معنای محاسبه دقیق‌تر فاصله دو سیگنال نخواهد بود و می‌توان بر مبنای سعی و خطای عمل بهینه‌سازی را انجام داد. از سوی دیگر روش پیشنهادی به لحاظ زمان، حجم و پیچیدگی محاسبات تفاوتی با الگوریتم مرسوم DTW ندارد چراکه تعداد عمل ضرب در الگوریتم‌ها مبنای مقایسه است. در شکل (۳) مثالی برای مقایسه بین الگوریتم مرسوم DTW و روش پیشنهادی که آنرا بنام الگوریتم مجموع مشتق‌های پیچش زمانی پویا SDDTW معرفی می‌کنیم، مشاهده می‌شود. دو سیگنال مورد بررسی مشابه بوده و باید خطای مقایسه مقداری کوچک گردد. با انتخاب برابر وزنها $w_i = 1$ در رابطه (۱۰) مشاهده می‌شود که با افزودن مشتق مرتبه اول فاصله دو سیگنال مشابه کمتر شده حال آنکه استفاده از مشتق مرتبه دوم خطای بیشتری را در مقایسه دو سیگنال بدست می‌دهد که می‌تواند ناشی از انتخاب نامناسب وزنها یا خطای محاسباتی در عمل مشتق‌گیری است. در بخش‌های آتی مقایسه جامعی بین روش‌ها انجام می‌شود.

۴- فرآیند تصدیق امضاء

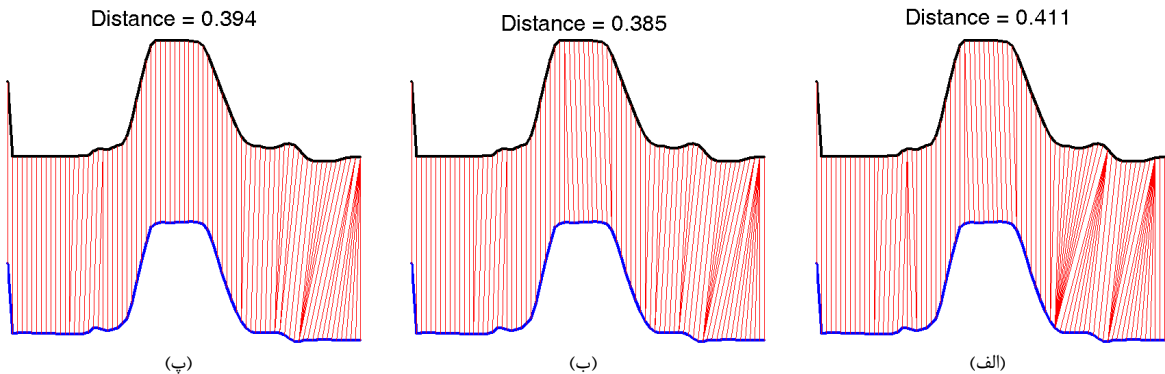
فرآیند تصدیق امضاء در نگاه کلی شامل مراحل: اخذ دادگان، پیش پردازش، مدلسازی و استخراج ویژگی، فرآیند مقایسه و تصمیم‌گیری است. در شکل (۴) مراحل کلی یک سیستم تصدیق نشان داده شده است.

در این پژوهش، پاگاه دادگان شامل دو مجموعه است. بخش اول در این تحقیق تهیه شده، الگوهای امضا ۵۰ نفر به عنوان افراد حقیقی به کمک دیجیتایزر (Graphier ۴) WACOM با فرکانس نمونه‌برداری ۱۰۰ HZ دریافت شده است (شامل ۱۳ زن). از هر فرد ۲۵ نمونه امضا حقیقی دریافت و به ازای هر فرد حقیقی دو گروه جاعل مبتدی و ماهر تعریف گردید. ۲۰ نفر جاعل مبتدی و ۳۰ نفر جاعل ماهر که هر کدام به تعداد ۱۰ نمونه کلیه الگوهای مرتع را جعل می‌نمودند. پاگاه دوم شامل افراد انگلیسی و چینی زبان می‌باشد که از سایت اولین مسابقه تصدیق امضاء دریافت شده، شامل ۴۰ فرد حقیقی که هر کدام ۲۰ بار امضا خویش را تکرار کرده‌اند و برای هر الگو نیز ۲۰ نمونه جاعل ماهر وجود دارد [۱۲]. افراد جاعل بر حسب میزان مهارت و تبحر آنها در جعل الگوهای حقیقی به سه گروه تقسیم می‌شوند:

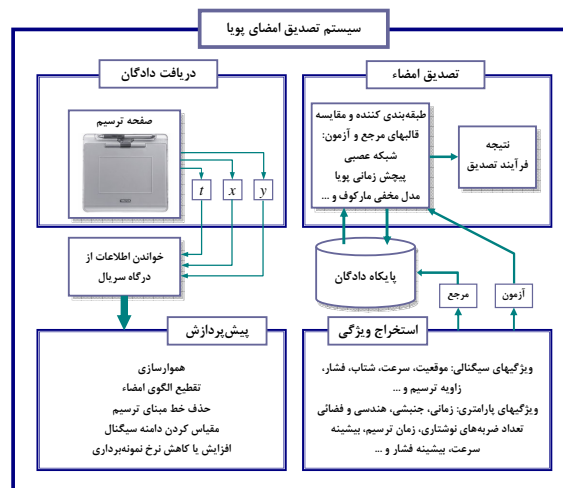
الف)- جاعل تصادفی^۶: که از امضا خودش (بدون توجه به امضا فرد حقیقی) بجای الگوی آزمون استفاده می‌کند.

ب)- جاعل مبتدی^۷: بدون داشتن آگاهی از خصوصیات الگوی حقیقی، تنها سعی در مشابه‌سازی تسویر الگوی حقیقی دارد.

ج)- جاعل ماهر^۸: با ممارست، علاوه بر آنکه سعی در نزدیک نمودن تصویر الگوها دارد، در صدد حفظ ویژگیها پوایی الگو نیز است. در این حالت اطلاعات و پسخوردهای لازم نظیر: ترتیب اجرای اجزاء، نقاط جدائی قلم از صفحه، سرعت ترسیم و ... به جاعل داده می‌شود.



شکل ۳. تعیین فاصله دو سیگنال مشابه بر اساس مجموع مشتقات فاصله اقلیدسی با وزنهای برابر. الف)- مشتق مرتبه صفر یا همان الگوریتم مرسوم DTW. ب)- مجموع تا مشتق مرتبه اول. پ)- مجموع تا مشتق مرتبه دوم.



شکل ۴. فرآیند تصدیق امضا پویا.

پیش پردازش شامل فرآیندهای هموارسازی، مشتق‌گیری عددی، حذف زاویه چرخش الگو و مقیاس نمودن سیگنالها است. هموارسازی به کمک یک فیلتر گوسی غیرعلی انجام می‌شود و مشتق‌گیری موقعیت نیز بر پایه توابع اسپلاین حاصل می‌گردد [۱۳]. سیگنالها نسبت به مقدار انرژی آنها، مقیاس می‌شود و داریم:

$$S_{normalized} = \frac{S - \mu_S}{\sigma_S} \quad (11)$$

که σ_S به ترتیب میانگین و انحراف معیار سیگنال است.

۵- نتایج آزمایشات

در این بخش ابتدا با استفاده از مجموعه دادگان به بررسی و مقایسه دقیق‌تر روش پیشنهادی و الگوریتم معمولی DTW پرداخته می‌شود و سپس کاربرد روش حاصل برای مسئله احراز هویت و تصدیق امضاء مدنظر قرار می‌گیرد.

۵-۱- مقایسه روش پیشنهادی SDDTW و DTW

برای مطالعه و بررسی دقت روش حاضر و مقایسه آن با الگوریتم مرسوم DTW استفاده از سیگنالهای حاصل از امضا افراد حقیقی و جاعل ماهر بسیار مناسب است. امضا هر فرد در تکرارهای متعدد هرچند از نظر ساختار اساسی مانند سرعت، شتاب و فشار همچنین تناسب دامنه در بخش‌های مختلف مشابه است ولی در محور زمان تغییرات و اعوجاجات غیرخطی مشاهده می‌شود [۱۳]. در امضا فرد جاعل نسبت به فرد حقیقی در الگوی ظاهری امضاء تفاوت آشکاری وجود ندارد ولی ویژگیهای پویا و مشخصات بنیادین آنها دارای اختلاف می‌باشد. استفاده از روش حاضر بدلیل برخورداری از اطلاعات و ویژگیهای پویا مانند مشتق اول یا همان سیگنال سرعت و دیگر مشتق‌های مرتبه بالاتر می‌تواند در برجسته‌سازی تفاوت‌های دو سیگنال به ظاهر مشابه موثر باشد.

بدین منظور سیگنالهای موقعیت (x, y) الگوی امضاء در پایگاه دادگان به کمک الگوریتم پیشنهادی SDDTW و DTW در افراد حقیقی و جاعل ماهر مطالعه شدند. برای تعیین خطا تعداد ۵ امضاء از هر فرد حقیقی به عنوان مجموعه مرجع انتخاب و امضاهای دیگر اعم از حقیقی و جعلی با آنها مقایسه می‌گردد. لازم به ذکر است که معيار خطا در سیستمهای تصدیق نرخ خطای برابر EER تعريف می‌شود و عبارت است از نقطه‌ای که دو خطای نرخ پذیرش اشتباه^{۱۰} FAR و خطای نرخ رد اشتباه^{۱۱} FRR مساوی می‌گردد. روند اجرا و مقایسه روشها چنین است:

- تعیین فاصله الگوی آزمون و مجموعه مرجع و تشکیل بردار فاصله $\bar{D} = \{D_1, D_2, D_3, D_4, D_5\}$

- محاسبه میانگین بردار به عنوان فاصله کلی دو سیگنال $D_{mean} = mean(\bar{D})$

- تبدیل فاصله به مقیاس واحد پس از اعمال الگوریتم بر روی تمام دادگان

$$D_{normalized} = \frac{D_{mean} - min(D_{mean})}{max(D_{mean}) - min(D_{mean})} \quad (12)$$

- تغییر سطح آستانه از صفر به یک $I \leq D_{normalized} \leq 0$ و محاسبه خطای EER آزمایشات با دو سطح آستانه فردی و عمومی صورت می‌پذیرد که در حالت فردی رابطه (۱۲) جداگانه برای هر فرد تعريف می‌شود و برای سطح آستانه عمومی کمترین و بیشترین مقادیر فاصله در کل دادگان بدست آمده و سپس رابطه (۱۲) اعمال می‌شود. همچنین در SDDTW تا مشتق مرتبه اول با $w_i = 1$ استفاده شده است. نتیجه در جدول (۱) ملاحظه می‌شود. روش پیشنهادی در تمام شرایط از DTW برتر و خطای کمتری دارد و بطور متوسط باعث کاهش ۱۴٪ در خطای طبقه‌بندی و تشخیص صحیح سیگنالهای مشابه شده است.

جدول ۱. خطای (%) در گروه جاعلن ماهر.

متوجه کل	سطح آستانه فردی				الگوریتم
	Y	X	Y	X	
۳۳/۷	۴۵/۷۴	۴۳/۵۴	۲۳/۲۴	۳۲/۲۸	DTW
۲۹/۰۸	۳۱/۵۷	۳۴/۱۹	۲۰/۸۴	۲۹/۷۲	SDDTW
		۳۳/۶۵	۳۸/۸۷	۲۲/۰۴	متوجه
		۳۶/۲۶		۲۵/۶۲	متوجه کل

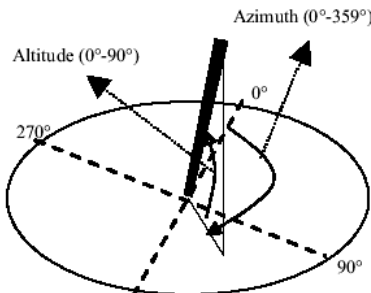
۴-۵- تایید هویت و تصدیق امضاء

اکنون با تعریف ویژگیهای سیگنالی و با استفاده از الگوریتمهای DTW و SDDTW یک سیستم تصدیق امضاء برای تایید و احراز هویت افراد طراحی می‌شود. ویژگیهای سیگنالی که در این تحقیق مورد استفاده قرار گرفته‌اند عبارتند از:

- ۱- موقعیت X, Y
- ۲- سرعت V_x, V_y
- ۳- فشار P
- ۴- تغییرات فشار V_p
- ۵- زاویه قلم نسبت به افق θ_{AL}
- ۶- زاویه قلم نسبت به محور Y ها θ_{AZ}

در شکل (۵) تعریف سیگنالهای θ_{AZ}, θ_{AL} مشاهده می‌شود. برای محاسبه فاصله سیگنالها در الگوریتم SDDTW حداکثر تا مشتق اول استفاده شده‌است. پس از تعیین فاصله سیگنالها با سیگنالهای مرجع (۵ نمونه حقيقی از هر فرد) و تبدیل به مقیاس واحد (رابطه ۱۲) طبقه‌بندی الگوهای حقيقی و جعلی انجام می‌گردد. بدین منظور سه طبقه‌بندی کننده بیز BNC، خطی بر پایه کمترین مربعات یا FLC و ماشین بردارهای پشتیبان SVM با هسته RBF فرض گردید.

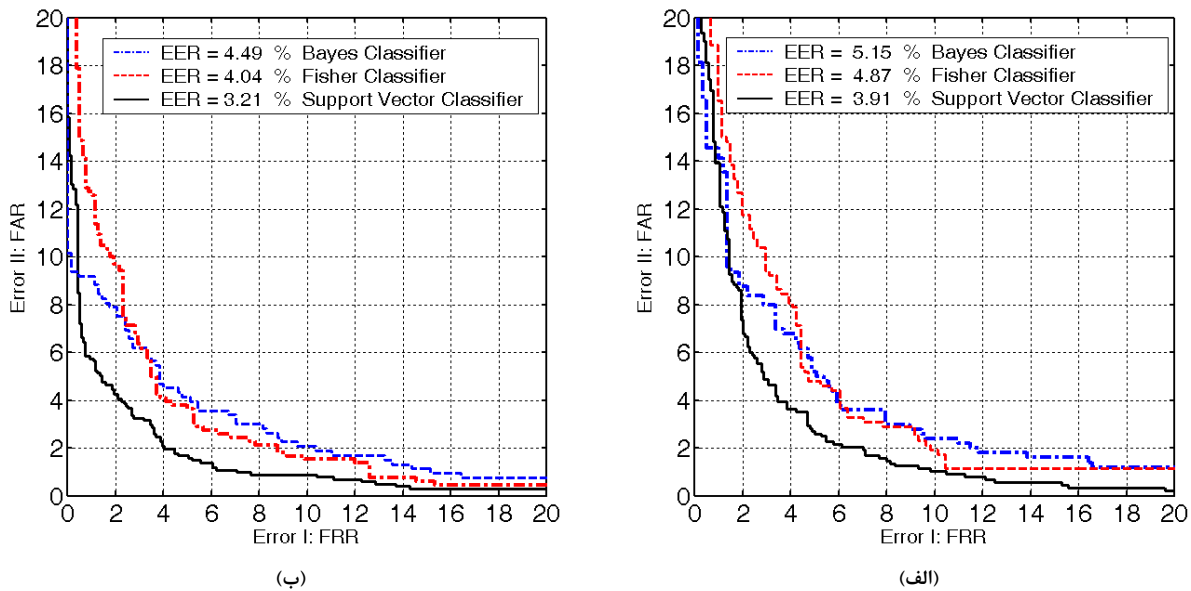
برای آموزش طبقه‌بندی کننده‌ها از ۵ نمونه حقيقی و ۸ نمونه به ازای هر فرد جاعل ماهر و بقیه دادگان جهت ارزیابی سیستم تصدیق استفاده شده‌است. در جدول (۲) نتایج حاصل از طبقه‌بندی الگوها مشاهده می‌شود. شکل (۶) محننی تغییرات FAR بر حسب FRR را بیان می‌کند که برای جاعلین ماهر و در شرایط سطح آستانه مشترک بدست آمده‌است. بهترین نتیجه با طبقه‌بندی کننده SVM بر پایه الگوریتم SDDTW حاصل شد که خطای ۰/۲۰۷٪ و ۳/۲۱٪ را به ترتیب برای سطح آستانه فردی و عمومی بدست می‌دهد. همچنین ملاحظه می‌شود که روش پیشنهادی SDDTW در شرایط سطح آستانه فردی در حدود ۱۴٪ و برای سطح آستانه عمومی تقریباً ۱۶٪ خطای EER را کاهش می‌دهد.



شکل ۵. زاویه قلم نسبت به سطح افق و محور Y ها [۱۴].

جدول ۲. خطای (%) حاصل از طبقه‌بندی الگوها در گروه جاعل ماهر.

SDDTW	DTW	سطح آستانه فردی		طبقه‌بندی کننده
		SDDTW	DTW	
۴/۴۹	۵/۱۵	۳/۲۶	۳/۸۳	BNC
۴/۰۴	۴/۸۷	۲/۷۴	۳/۰۷	FLC
۳/۲۱	۳/۹۱	۲/۰۷	۲/۵۲	SVM
۳/۹۱	۴/۶۴	۲/۶۹	۳/۱۴	متوسط



شکل ۶. تغییرات خطا در گروه جاعلین ماهر و با سطح آستانه مشترک. الف)-روش DTW. ب)-روش پیشنهادی SDDTW

۶- نتیجه‌گیری

مقایسه سیگنالهای زمانی و تعیین میزان شباهت یا تفاوت آنها مسئله‌ای اساسی در زمینه بازشناسی الگو است. الگوریتم DTW از جمله روش‌های موفق است که بر پایه فاصله تجمعی نقاط مجاور، مسیر بهینه تناظر دو سیگنال را معرفی می‌کند. از آنجا که معیارهای فاصله مرسوم مانند اقلیدسی تنها حاوی اطلاعات کمی و کلی است و کیفیت تغییرات محلی دو سیگنال را شامل نمی‌شود، سعی گردید با تعیین معیار فاصله مبتنی بر مجموع فاصله مشتقات سیگنالها، اطلاعات محتوایی نظری نقاط کمینه یا بیشینه دو سیگنال نیز مدنظر قرار گیرد. راهکار پیشنهادی علاوه بر حفظ خصوصیت اصلی DTW یعنی یافتن تغییرات غیرخطی محور زمان، تغییرات دامنه‌ای و چگونگی این تغییرات را نیز کاوش می‌نماید و بدین ترتیب تفاوت‌های ذاتی الگوهای حقیقی و جعلی بر جسته‌تر می‌سازد.

بهینه‌سازی وزنهای اختصاص یافته به مراتب مشتق در معیار فاصله می‌تواند در ارزیابی صحیح‌تر نقش موثری ایفا نماید که در تحقیقات و پژوهش‌های آتی بررسی خواهد شد.

مراجع

- [۱] R. Plamondon, N. Srihari, “On-line and off-line handwriting recognition: a comprehensive survey”, IEEE Trans. on Pattern Anal. Mach. Intel. Vol. ۲۲, No. ۱, pp. ۶۳-۸۴, ۲۰۰۰.
- [۲] J. Richiardi, H. Ketabdar, A. Drygajlo, “Local and global feature selection for on-line signature verification”, Proc. ۸th Int. Conference on Document Analysis and Recognition, pp. ۶۲۵-۶۲۹, ۲۰۰۵.
- [۳] L. Nanni, A. Lumini, “Advanced methods for two class problem formulation for on-line signature verification”, Neurocomputing, Vol. ۶۹, No. ۵, pp. ۸۵۴-۸۵۷, ۲۰۰۶.
- [۴] V. S. Nalwa, “Automatic on-line signature verification”, Proc. IEEE, Vol. ۸۵, No. ۲, pp. ۲۱۵-۲۳۹, ۱۹۹۷.
- [۵] H. Lei, S. Palla, V. Govindaraju, “ ER^2 : An intuitive similarity measure for on-line signature verification”, Proc. of the ۹th Int. Workshop on Frontiers in Handwriting Recognition, pp. ۱۹۱-۱۹۵, ۲۰۰۴.
- [۶] K. Huang, H. Yan, “On-line signature verification based on dynamic segmentation and global and local matching”, Optical Engineering, Vol. ۳۴, pp. ۳۴۸۰-۳۴۸۷, ۱۹۹۵.
- [۷] R. Martens, L. Claesen, “Dynamic programming optimisation for on-line signature verification”. Proc ۴th Int. Conference on Document Analysis and Recognition, Vol. ۲, pp. ۶۵۳-۶۵۶, ۱۹۹۷.

- [۸] K. Zhang, I. Pratikakis, J. Cornelis, E. Nyssen, “*Using landmarks to establish a point-to-point correspondence between signatures*”, Pattern Anal. Appl. Vol. ۷, No. ۱, pp. ۶۹–۷۵, ۲۰۰۴.
- [۹] A. Kholmatov, B. Yanikoglu, “*Identity authentication using improved online signature verification method*”, Pattern Recognition Letters, Vol. ۲۶, No. ۱۵, pp. ۲۴۰۰–۲۴۰۸, ۲۰۰۵.
- [۱۰] H. Sakoe, S. Chiba, “*Dynamic programming algorithm optimization for spoken word recognition*”, IEEE Trans. Acoustics, Speech, and Signal Proc., Vol. ۲۶, No. ۱, pp. ۴۳–۴۹, ۱۹۷۸.
- [۱۱] E. Keogh, M. Pazzani, “*An enhanced representation of time series which allows fast and accurate classification, clustering and relevance feedback*”, Proc. Of the ۱۴th Int. Conference of Knowledge Discovery and Data Mining, pp. ۲۳۹–۲۴۱, ۱۹۹۸.
- [۱۲] SVC; The First International Signature Verification Competition; <http://www.cs.ust.hk/svc2004>.
- [۱۳] رشیدی س، فلاح ع، توحیدخواه ف، ”تصدیق امضاء بر پایه ضریب‌های نوشتاری سیستم کنترل حرکتی“، هفدهمین کنفرانس مهندسی برق ایران، دانشگاه علم و صنعت، ۱۳۸۸.
- [۱۴] J. Fierrez-Aguilar, Adapted fusion schemes for multimodal biometric authentication, PHD Thesis, Universidad Politecnica de Madrid, Supervised by Javier Ortega-Garcia, ۲۰۰۶.
-

- Dynamic Time Warping
- Dynamic Programming Matching
- Sakoe
- Chiba
- Quantization
- Substitution or Random Forgery
- Simple Forgery
- Skilled Forgery
- Equal Error Rate
- False Acceptance Rate
- False Rejection Rate